

МИНИСТЕРСТВО НАУКИ И ВЫСШЕГО ОБРАЗОВАНИЯ  
РОССИЙСКОЙ ФЕДЕРАЦИИ  
Федеральное государственное бюджетное образовательное учреждение  
высшего профессионального образования  
«Национальный исследовательский ядерный университет  
«МИФИ»  
Кафедра «Физика элементарных частиц»

ОТЧЕТ О НАУЧНО-ИССЛЕДОВАТЕЛЬСКОЙ РАБОТЕ  
Образование доменных стенок и струн в  
ранней Вселенной

Студент группы М19-115

\_\_\_\_\_ Мурыгин Б.С.

Научный руководитель

\_\_\_\_\_ Кириллов А.А.

Москва 2020

# СОДЕРЖАНИЕ

1 Введение	2
2 Численное моделирование	2
3 Заключение	7
Список используемых источников	8

# 1. ВВЕДЕНИЕ

Существует множество моделей инфляции, обладающих потенциалами сложной формы, содержащими один или даже набор минимумов и седловых точек (см., Например, [1–4]). Между тем, если потенциал скалярных полей содержит хотя бы одну седловую точку и минимум, в такой теории могут образовываться солитоны. [5; 6]. При определенных условиях эти топологически нетривиальные структуры могут привести к образованию первичных черных дыр в ранней Вселенной из-за коллапса доменных стенок. [7; 8] или петель космических струн [9]. Более того, солитоны могут сильно повлиять на раннюю Вселенную. [10; 11] .

В нашей работе мы изучаем рождение солитонов в моделях с потенциалами, имеющими как минимум одну седловую точку и один минимум в  $(2+1)$  пространстве-времени. Мы берем потенциал в общем виде для аппроксимации некоторых моделей инфляции, а также потенциал вида мексиканская шляпа использующийся в модели естественной инфляции [12]. Случай  $(1+1)$ , описывающий образование доменных стенок в ранней Вселенной, обсуждался ранее в [13; 14].

## 2. ЧИСЛЕННОЕ МОДЕЛИРОВАНИЕ

Рассмотрим модель двух действительных скалярных полей  $\varphi$ ,  $\chi$  где потенциал  $\mathcal{V}$  выбирается в виде

$$\mathcal{V} = d(\varphi^2 + \chi^2) + a \exp[-b(\varphi - \varphi_0)^2 - c(\chi - \chi_0)^2], \quad a > 0, b > 0, c > 0, d > 0, \quad (1)$$

Потенциал имеет минимум в точке  $(\varphi_0, \chi_0) = (0, 0)$  с экспоненциально малыми ошибками. Параметры  $b$  и  $c$  задают форму локального максимума, а  $a$  описывает его высоту. Параметр  $d$  задает общий наклон потенциала.

Лагранжиан двух вещественных скалярных полей определяется выражением

$$\mathcal{L} = \frac{1}{2} g_{\mu\nu} (\partial^\mu \varphi \partial^\nu \varphi + \partial^\mu \chi \partial^\nu \chi) - \mathcal{V}(\varphi, \chi), \quad (2)$$

где  $g_{\mu\nu}$ -метрический тензор Фридмана-Робертсона-Уолкера. После окончания инфляции поля начинают подчиняться классическим уравнениям дви-

жения, которые для (2+1) пространства-времени имеют следующий вид:

$$\begin{aligned}\varphi_{tt} - 3H\varphi_t - \varphi_{xx} - \varphi_{yy} &= -\frac{\partial\mathcal{V}}{\partial\varphi}, \\ \chi_{tt} - 3H\chi_t - \chi_{xx} - \chi_{yy} &= -\frac{\partial\mathcal{V}}{\partial\chi}.\end{aligned}\tag{3}$$

Здесь  $H = \dot{a}/a$ -параметр Хаббла,  $H_I \sim 10^{13}$  ГэВ для стадии инфляции и становится меньше после окончания инфляции. В наших оценках для простоты мы пренебрегаем зависимостью параметра Хаббла от времени, поскольку  $-3H\varphi_t$  и  $-3H\chi_t$  являются членами трения и их значения определяют частоту колебаний, но не влияют на окончательное распределение полей. Обратите внимание, что значение  $H_I$  указывает естественный масштаб энергии для системы. Здесь и далее все значения указаны в единицах  $H_I$ .

Кроме того, мы рассматриваем хорошо известную потенциал “наклонную мексиканскую шляпу”. [12]

$$\mathcal{V} = \lambda\left(\varphi^2 + \chi^2 - \frac{g^2}{2}\right)^2 + \Lambda^4\left(1 - \frac{\varphi}{\sqrt{\varphi^2 + \chi^2}}\right),\tag{4}$$

где  $\lambda$ ,  $g$ ,  $\Lambda$  положительные параметры. Параметр  $g$  устанавливает положение окружности вырожденных минимумов в случае мексиканской шляпы без наклона,  $\lambda$  устанавливает высоту локального максимума в точке  $(\varphi_0, \chi_0) = (0, 0)$  и  $\Lambda$  задает наклон потенциала. Обратите внимание: наклон потенциала делает минимумы невырожденными. Однако невырожденность не является необходимым условием рождения солитонов.

Плотность энергии  $\rho$  конфигурации полей определяется тензором энергии-импульса  $\rho = T^{00}$ , где  $T^{\mu\nu}$  определяется выражением

$$T^{\mu\nu} = \frac{\partial\mathcal{L}}{\partial(\partial_\mu\varphi_a)}\partial^\nu\varphi_a - g^{\mu\nu}\mathcal{L}.\tag{5}$$

Таким образом, для (2) плотность энергии  $\rho$  имеет вид

$$\rho = \frac{1}{2}\sum_{i=t,x,y}(\varphi_i^2 + \chi_i^2) + \mathcal{V}(\varphi, \chi).\tag{6}$$

Чтобы найти решение (3), возьмем следующие начальные условия:

$$\begin{aligned}\varphi(x, y, 0) &= \mathcal{R} \cos \Theta + \varphi_1, & \varphi_t(x, y, 0) &= 0; \\ \chi(x, y, 0) &= \mathcal{R} \sin \Theta + \chi_1, & \chi_t(x, y, 0) &= 0,\end{aligned}\tag{7}$$

где

$$\mathcal{R}(r) = \mathcal{R}_0 \cosh^{-1} \frac{r_0}{r}, \quad \Theta = \theta.\tag{8}$$

$\mathcal{R}_0 > 0$ ,  $r_0 > 0$ ,  $\varphi_1, \chi_1$  - параметры,  $r = \sqrt{x^2 + y^2}$  и  $\theta$  - расстояние от начала координат и полярный угол соответственно.

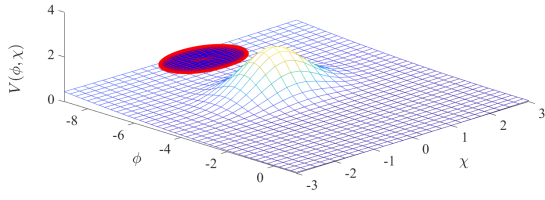
Естественные граничные условия свободные:

$$\begin{aligned}\varphi_x(\pm\infty, y, t) &= 0, & \varphi_y(x, \pm\infty, t) &= 0; \\ \chi_x(\pm\infty, y, t) &= 0, & \chi_y(x, \pm\infty, t) &= 0.\end{aligned}\tag{9}$$

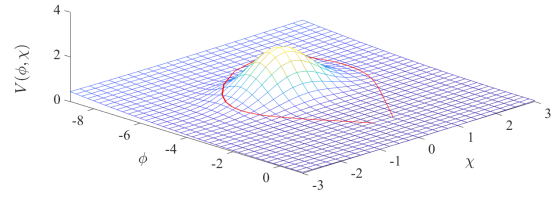
После того как начальные и граничные условия определены в (7) - (9), уравнения (3) могут быть решены численно.

В нашей работе мы представляем результаты для двух случаев, чтобы продемонстрировать две основные возможности. В обоих случаях параметры потенциала, определенные в (1), были выбраны следующим образом:  $d = 0.005$ ,  $a = 2$ ,  $b = 1$ ,  $c = 1$ ,  $\varphi_0 = -5$ ,  $\chi_0 = 0$ , а параметры начальных условий (7) равны  $\mathcal{R}_0 = 1$ ,  $r_0 = 1$ ,  $\chi_1 = 0$ . В первом случае расположение начальных условий определяется параметром  $\varphi_1 = -8$ . Это изображено на рис. 1a. Начальное расположение полей  $\varphi$  и  $\chi$  близко к седловой точке. Окончательное стабильное распределение, установившееся в ходе классической эволюции, показано на рис. 16. Распределение полей стремится к минимуму потенциала, но локальный максимум препятствует этому и разбивает решение на две траектории. Плотность энергии можно рассчитать с помощью (6). Она изображена для конечного состояния на рис. 2a. Распределение соответствует доменной стенке в трехмерном пространстве и качественно совпадает с результатами [13; 14] для числа витков  $N = 1$ .

Второй случай отличается от первого только значением параметра, определяющего расположение начальных условий.  $\varphi_1 = -5$ . Он показан на рис. 3a. Параметр подбирается таким образом, чтобы в начальное распределение полей входил пик потенциала. Рис.36 иллюстрирует конечное состо-

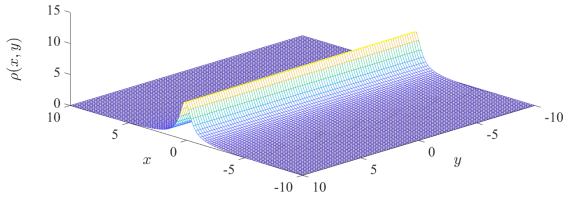


(а) Начальное распределение полей.

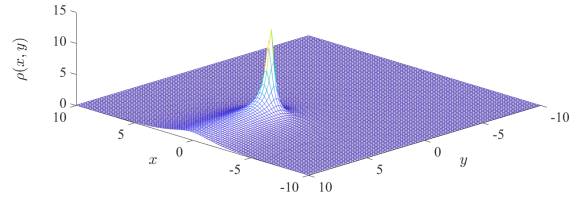


(б) Конечное состояние полей.

Рисунок 1 — Случай первый: потенциал (1) со значениями параметров  $d = 0.005$ ,  $a = 2$ ,  $b = 1$ ,  $c = 1$ ,  $\varphi_0 = -5$ ,  $\chi_0 = 0$  и начальные условия (7) с  $\mathcal{R}_0 = 1$ ,  $r_0 = 1$ ,  $\varphi_1 = -8$ ,  $\chi_1 = 0$ .

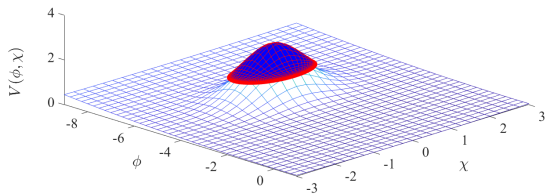


(а) Доменная стенка образуется в первом случае.

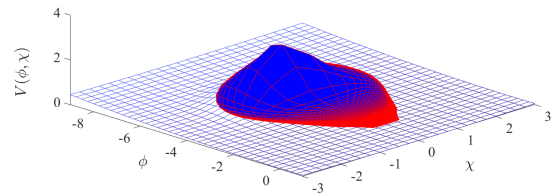


(б) Струна формируется во втором случае.

Рисунок 2 — Окончательные распределения плотности энергии для упомянутых случаев.



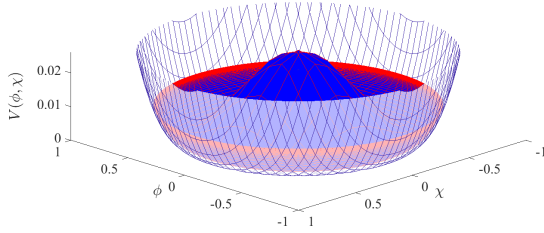
(а) Начальное распределение полей.



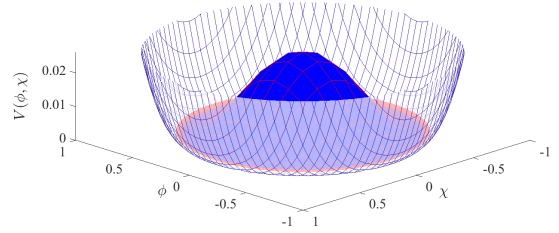
(б) Конечное состояние полей.

Рисунок 3 — Случай второй: потенциал (1) со значениями параметров  $d = 0.005$ ,  $a = 2$ ,  $b = 1$ ,  $c = 1$ ,  $\varphi_0 = -5$ ,  $\chi_0 = 0$  и начальные условия (7) с  $\mathcal{R}_0 = 1$ ,  $r_0 = 1$ ,  $\varphi_1 = -5$ ,  $\chi_1 = 0$ .

ание полей, полученных в результате решения уравнений движения. Распределение полей стремится минимизировать энергию, что вызывает спад полей с пика потенциала. Окончательное распределение плотности энергии показано на рис.26. Распределение соответствует струне с образованием гребня в трехмерном пространстве. Гребень появляется из-за наклона потенциала. Появление гребня отражает наличие натяжения, которое



(а) Начальное распределение полей.



(б) Конечное состояние полей.

Рисунок 4 — Начальное и конечное состояния полей с потенциалом наклонной мексиканской шляпы (4).

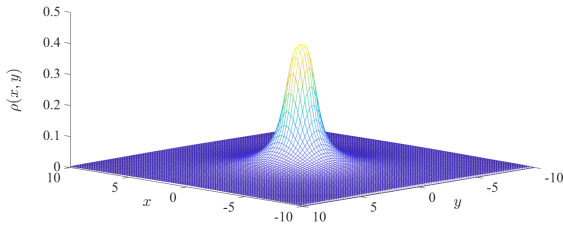


Рисунок 5 — Показано окончательное распределение плотности энергии, соответствующее шнуру для наклонной мексиканской шляпы.

стремится привести распределение в минимум потенциала. В результате действия натяжения распределение движется. Таким образом струна оказывается квазистабильной и в какой-то момент времени распадется. Время жизни струны зависит от параметров потенциала и начального распределения.

Наконец, продемонстрируем формирование солитонов в известной модели наклонной мексиканской шляпы. (4) описывает естественную инфляцию. Возможность образования доменных стенок в этом потенциале рассматривалась в [14]. Здесь мы сосредоточимся на другом типе солитонов. Выберем параметры потенциала следующим образом  $g = 1$ ,  $\lambda = 0.1$ ,  $\Lambda = 5 \cdot 10^{-13}$  и параметры начального условия  $\mathcal{R}_0 = 0.9$ ,  $r_0 = 1$ ,  $\varphi_1 = \chi_1 = 0$  (все в  $H_I$  единицах). Распределение показано на рис. 4а где начальное состояние полей находится на вершине пика. Поскольку наклон очень мал, конфигурация полей сжимается вокруг пика из-за поверхностного натяжения и останавливается, когда наклон потенциала компенсирует его (рис. 4б). Плотность энергии окончательного распределения представлена на рис. 5. Как видно, это соответствует образованию струны. Гребень не виден из-за крайне малого наклона потенциала. Если параметр  $\Lambda$  будет увеличен, то гребень появится.

### 3. ЗАКЛЮЧЕНИЕ

Рассмотрена классическая динамика инфлатоно-подобных скалярных полей с потенциалом, имеющим хотя бы один минимум и седловую точку после окончания инфляции. Наш численный анализ показывает, что различные типы солитонов (доменные стенки и струны) могут формироваться в рамках модели с одним и тем же потенциалом и различными начальными условиями. Как упоминалось во введении, оба типа солитонов могут создавать первичные черные дыры и серьезно влиять на эволюцию ранней Вселенной. Таким образом, следует проверить возможность образования солитонов (и, следовательно, ПЧД) в конкретных теориях инфляции, имеющих потенциал, аналогичный рассмотренному в данной работе.

## СПИСОК ИСПОЛЬЗУЕМЫХ ИСТОЧНИКОВ

1. *Vilenkin A.* A measure of the multiverse // *J. Phys. A.* — 2007. — Vol. 40, no. 25. — P. 6777–6785. — arXiv: [hep-th/0609193](#) [[hep-th](#)].
2. *Denef F., Douglas M. R.* Computational complexity of the landscape: Part I // *Ann. Phys.* — 2007. — Vol. 322, no. 5. — P. 1096–1142. — arXiv: [hep-th/0602072](#) [[hep-th](#)].
3. *Dias M., Frazer J., Seery D.* Computing observables in curved multifield models of inflation—A guide (with code) to the transport method // *J. Cosmol. Astropart. Phys.* — 2015. — Vol. 2015, no. 12. — P. 030. — arXiv: [1502.03125](#) [[astro-ph.CO](#)].
4. *Masoumi A., Vilenkin A., Yamada M.* Inflation in random Gaussian landscapes // *J. Cosmol. Astropart. Phys.* — 2017. — Vol. 2017, no. 5. — P. 053. — arXiv: [1612.03960](#) [[hep-th](#)].
5. *Rajaraman R.* Solitons and instantons. — Amsterdam : North-Holland Publishing Company, 1989.
6. *Manton N., Sutcliffe P.* Topological Solitons. — Cambridge : Cambridge University Press, 2004.
7. *Rubin S. G., Sakharov A. S., Khlopov M. Y.* The Formation of Primary Galactic Nuclei during Phase Transitions in the Early Universe // *J. Exp. Theor. Phys.* — 2001. — т. 92, № 6. — с. 921–929. — arXiv: [hep-ph/0106187](#) [[hep-ph](#)].
8. *Khlopov M. Y., Rubin S. G., Sakharov A. S.* Primordial structure of massive black hole clusters // *Astropart. Phys.* — 2005. — Vol. 23, no. 2. — P. 265–277. — arXiv: [astro-ph/0401532](#) [[astro-ph](#)].
9. *Helper T., Aurrekoetxea J. C., Lim E. A.* Cosmic string loop collapse in full general relativity // *Phys. Rev. D.* — 2019. — т. 99, № 10. — с. 104028. — arXiv: [1808.06678](#) [[gr-qc](#)].
10. *Vilenkin A., Levin Y., Gruzinov A.* Cosmic strings and primordial black holes // *J. Cosmol. Astropart. Phys.* — 2018. — т. 2018, № 11. — с. 008. — arXiv: [1808.00670](#) [[astro-ph.CO](#)].

11. Clusters of Primordial Black Holes / K. M. Belotsky [et al.] // Eur. Phys. J. C. — 2019. — Vol. 79, no. 3. — P. 246. — arXiv: [1807.06590 \[astro-ph.CO\]](#).
12. *Peloso M., Unal C.* Trajectories with suppressed tensor-to-scalar ratio in Aligned Natural Inflation // J. Cosmol. Astropart. Phys. — 2015. — т. 2015, № 6. — с. 040. — arXiv: [1504.02784 \[astro-ph.CO\]](#).
13. *Gani V. A., Kirillov A. A., Rubin S. G.* Transitions between topologically non-trivial configurations // J. Phys. Conf. Ser. — 2017. — т. 934. — с. 012046. — arXiv: [1711.07700 \[hep-th\]](#).
14. *Gani V. A., Kirillov A. A., Rubin S. G.* Classical transitions with the topological number changing in the early Universe // J. Cosmol. Astropart. Phys. — 2018. — Vol. 2018, no. 4. — P. 042. — arXiv: [1704.03688 \[hep-th\]](#).